

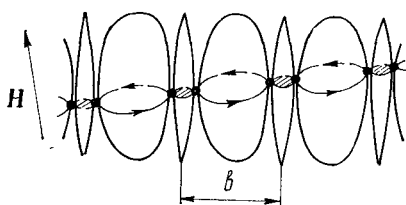
УДК 539.292

Л. Ю. ГОРЕЛИК, А. А. СЛУЦКИН, А. Я. ШАРШАНОВ

## ОРИЕНТАЦИОННЫЕ АНОМАЛИИ ПОГЛОЩЕНИЯ ЗВУКА МЕТАЛЛАМИ В УСЛОВИЯХ МАГНИТНОГО ПРОБОЯ

Рассмотрены осцилляции поглощения продольного звука металлами в условиях стохастического магнитного пробоя (МП). Исследован типичный случай, когда магнитное поле  $\mathbf{H}$  образует малый угол  $\theta$  с плоскостью, перпендикулярной одному из векторов обратной кристаллической решетки  $\mathbf{b}$ , а МП-конфигурации представляют собой слабо апериодические цепочки электронных орбит, связанных малыми орбитами — своеобразными квантовыми затворами, характеризующимися  $2\pi$  — периодичной зависимостью эффективной вероятности МП ( $\omega$ ) от квазиклассической фазы  $\varphi = cS / eH\hbar$  ( $S$  — площадь малой орбиты). Показано, что МП-осцилляции поглощения звука при  $\theta \gtrsim \sqrt{x} \sim 1^\circ$  ( $x = e\hbar H/cb^2$  — параметр квазиклассичности) весьма чувствительны к структуре неоднородного распределения фаз  $\varphi$  по МП-конфигурации. Амплитуда МП-осцилляций в указанной области углов мала за исключением малой окрестности избранных значений  $\theta = \theta_k \equiv (4\pi k/S^{\parallel})^{1/2}$  ( $k = 1, 2, \dots$ ;  $S^{\parallel} = |\partial^2 S / \partial p_z^2|$ ), в которой она сравнима с плавной частью поглощения.

Хорошо известно, что в условиях магнитного пробоя (МП) малые электронные орбиты, связанные с большими орбитами других энергетических зон двумя центрами МП, играют роль своеобразных квантовых затворов — эффективных центров МП, обладающих свойством селективной прозрачности.



Это именно: эффективная вероятность прохождения электрона через квантовый затвор  $\omega = \omega_0^2 / 1 - (1 - \omega_0) \exp \{i\varphi\}^{-2}$ ,  $2\pi$ -периодичная по фазе  $\varphi (p_z) \equiv cS(p_z, \varepsilon_F) / eH\hbar$  ( $S$  — площадь малой орбиты,  $\varepsilon_F$  — энергия Ферми,  $\omega_0$  — вероятность МП, остальные обозначения общеприняты), обращается в единицу при  $\varphi = 2\pi m$ ,  $m$  — целое. Эта  $2\pi$ -периодичность  $\omega$  приводит к специфическим МП-осцилляциям (по обратному магнитному полю) различных кинетических коэффициентов [1]. Здесь мы покажем, что селективная прозрачность малых орбит приводит к новому эффекту — аномальной чувствительности МП-осцилляций бесстолкновительного поглощения звука относительно ориентации магнитного поля.

Речь будет идти о типичном для эксперимента случае слабо апериодической МП-конфигурации (система МП-связанных электронных орбит), возникающей при отклонении магнитного поля  $\mathbf{H}$  на малый угол  $\theta$  от плоскости, перпендикулярной одному из векторов обратной решетки  $\mathbf{b}$ . (Далее для определенности рассматривается МП-конфигурация, показанная на рисунке). Специфика изучаемой нами ситуации состоит в том, что уже при весьма малых углах  $\theta \gtrsim (x)^{1/2} \sim 10^{-2}$  ( $x = e\hbar H/cb^2$  — параметр квазиклассичности) фазы  $\varphi$  квантовых затворов МП-конфигураций, а вместе с ними эффективные вероятности МП, существенно зависят от номера элементарной ячейки  $n$ :

$$\Phi_n = \varphi(p_z + n\theta b) \approx \varphi(0) + \frac{\theta^2 S''}{2x} \left( n + \frac{p_z}{\theta b} \right)^2, \quad \varphi(0) = \frac{cS(0)}{eH\hbar} \quad (1)$$

( $S'' \equiv \partial^2 S / \partial p_z^2|_{p_z=0}$ ,  $p_z = 0$  — точка экстремума  $S(p_z, \varepsilon_F)$ ;  $\theta b/2 < p_z \ll \theta b/2$ ). При этом осцилляторные вклады малых орбит МП-конфигурации, вообще говоря, взаимно погашаются, и амплитуда МП-осцилляций кинети-

ческих коэффициентов (в частности, коэффициента поглощения звука  $\Gamma$ ) заметно уменьшается. Картина, однако, резко изменяется при значениях углов

$$\theta = \theta_k \equiv \left( \frac{4\pi eH\hbar}{c \cdot S'' \cdot b^2} k \right)^{1/2}, \quad k = 1, 2, 3, \dots \quad (2)$$

Как понятно из (1), в этом случае существуют избранные аномально узкие слои МП-конфигураций с  $p_z \approx p_{rk} \equiv \theta br/2k$  ( $r$  — целое,  $|r| \ll |k|$ ), на которых все  $\varphi_n$  приближенно совпадают по модулю  $2\pi$ , и, следовательно, селективно прозрачными (при  $\Phi(0) = \varphi_{m,r,k} \equiv 2\pi r^2/2k$ ) оказываются сразу все малые орбиты. Эта «интегральная» селективная прозрачность и обуславливает рассматриваемый нами ориентационный эффект — возникновение резких всплесков амплитуды МП-осцилляций  $\Gamma$  в малой окрестности углов  $\theta_k$ .

Указанные угловые аномалии наиболее ярко проявляются в ситуации так называемого стохастического МП (СМП) [1], которая и будет рассматриваться в дальнейшем. Ниже предполагается, что наряду с обычным условием бесстолкновительного поглощения звука  $qL \gg 1$  ( $q$  — волновой вектор звука,  $L$  — характерная длина свободного пробега электрона) выполнены неравенства

$$N \approx \Delta p/\theta b \gg 1, \quad r_H \Delta p/b \ll q^{-1}. \quad (3)$$

Здесь  $N$  — число орбит МП-конфигураций,  $r_H \equiv cb/eH$  — характерный ларморовский радиус;  $\Delta p$  — ширина слоя открытых периодических МП-конфигураций при  $\theta = 0$  (во всех известных МП-металлах  $\Delta p \leq 10^{-1}$  В). Второе неравенство означает, что характерное смещение электрона вдоль  $\mathbf{H}$  за время его движения по элементарной ячейке  $\mathbf{p}$ -пространства ( $T_H$ ) много меньше длины волны звука.

Согласно [1], СМП характеризуется системой неравенств  $v_{my}T_H \gg 1 \gg \gg \gamma \gg vT_H$ , здесь  $\gamma = v_{my}T_m$ ,  $T_m$  — период обращения по малой орбите,  $v_{my}$  и  $v$  — частоты малоуглового (на дислокациях, фонах) и электрон-примесного рассеяния соответственно. Приведенные соотношения означают (см. [1]), что электрон совершает броуновское движение по МП-конфигурации, случайно перескакивая между большими орбитами с вероятностями  $w_n \equiv w(\varphi_n + i\gamma)$ . При этом характерное время эффективного взаимодействия электрона со звуковой волной  $\tau_q$  определяется коэффициентом МП-диффузии  $D_{MP} = 1/\beta T_H$ , где  $\beta = \beta(p_z/\theta b, n) \equiv (1 - w_n)/w_n$ . Рассматриваемый нами эффект максимален, если все электроны данной МП-конфигурации вносят одинаковый вклад в поглощение звука. Для этого необходимо, чтобы время  $\tau_q$  было много больше характерного времени диффузионного перемещения электрона через всю МП-конфигурацию  $\tau_N = N^2 \langle D_{MP} \rangle^{-1}$ , где  $\langle \dots \rangle$  означает усреднение по МП-конфигурации с данным  $p_z$ . В пределе  $\tau_q \gg \tau_N$  смещение электрона вдоль  $\mathbf{H}$  происходит диффузионно с коэффициентом диффузии  $D_z \sim (\delta Z)^2/\tau_N$ , где  $\delta Z = v_0 \tau_N$  — шаг диффузии, а  $v_0 = (r_H/T_H)\Delta p/b$  — характерная продольная скорость электрона на МП-конфигурации. Таким образом, эффективное взаимодействие частицы с волной, которому соответствует диффузионное смещение  $\sim q^{-1}$ , происходит за времена

$$\tau_q \sim 1/q^2 D_z \sim \tau_N / (q \delta Z)^2 \sim T_H / \langle \beta(p_z/\theta b) \rangle (q \Delta_z)^2, \quad (4)$$

где  $\Delta_z = r_H (\Delta p/b)^2/\theta$  — характерное продольное смещение электрона при его классическом движении по МП-конфигурации в пределе  $w_0 = 1$ . Как видно из (4) и выражения для  $D_{MP}$ , неравенство  $\tau_q \gg \tau_N$  в типичном случае  $(1 - w_0) w_0 \sim 1$  эквивалентно условию

$$\eta \equiv (qr_H/\theta^2) (\Delta p/b)^3 \ll 1, \quad (5)$$

реализующемуся (при  $qr_H \sim 1$ ) в области углов  $\theta \sim 1^\circ$ . Поскольку каждый электрон данной МП-конфигурации вносит вклад в коэффициент поглощения  $\Gamma$ , пропорциональный  $\tau_q$ , для  $\Gamma$  (с учетом (4)) получается оценка

$\Gamma \sim \Gamma_0/\eta \gg \Gamma_0$ , где  $\Gamma_0$  — коэффициент бесстолкновительного поглощения звука при  $H = 0$ . Приведенная оценка находится в соответствии с точным выражением для  $\Gamma$ , полученным нами на основе общей теории СМП [1]:

$$\Gamma = \frac{\Gamma(\theta = 0)}{a\eta} \int_{-1/2}^{1/2} dz \left\langle \beta(z, n) \left(1 - \frac{4n^2}{N^2}\right)^2 \right\rangle^{-1}. \quad (6)$$

Здесь  $\Gamma(\theta = 0)$  — коэффициент поглощения звука при  $\theta = 0$ ;  $a \equiv (\pi/64) \partial^2 S_B / \partial p_z^2|_{p_z=0}$ ;  $S_B(p_z, \epsilon_F)$  — площадь большой орбиты\*. Если угол  $\theta$  не слишком близок к избранным значениям  $\theta_k$  (см. (2)), то величина  $\beta(z, n)$ , фигурирующая в (6), быстро и хаотически осциллирует по  $n$ , что позволяет произвести в (6) замену

$$\beta(z, n) \rightarrow (2\pi)^{-1} \int_0^{2\pi} d\varphi [1 - w(\varphi)]/w(\varphi) = 2(1 - w_0)/w_0^2.$$

При этом поглощение  $\Gamma$  оказывается пропорциональным  $\theta^2$ , а зависимость  $\Gamma$  от фазы  $\varphi(0) = cS(0)/eH\hbar$  отсутствует:

$$\Gamma = \bar{\Gamma} \equiv \Gamma(\theta = 0) \left( \frac{16}{15} a\eta \frac{1 - w_0}{w_0^2} \right)^{-1}. \quad (7)$$

При  $\theta \rightarrow \theta_k$  и  $\varphi(0) = \varphi_{m.r.k}$  в интеграле (6) возникают узкие интервалы значений  $z \approx r/2k$  (см. выше), ви, три которых  $\beta(z, n)$  достигает своего минимального значения  $2\gamma(1 - w_0)/w_0$  для всех  $n$  МП-конфигураций. В этом случае  $\Gamma$  может быть представлено в виде суммы двух слагаемых:

$$\Gamma = \bar{\Gamma} + \sqrt{\frac{7}{2}} \bar{\Gamma} \frac{\theta_k/k}{\Delta p/b} \left\{ \gamma w_0 + \frac{1}{2} \left[ \varphi(0) - \varphi_{m.r.k} + \sqrt{\frac{3}{2}} \alpha \frac{\theta - \theta_k}{\theta_k} \right]^2 + \alpha \left[ \frac{\theta - \theta_k}{\theta_k} \right]^2 \right\}^{-1/2}, \quad (8)$$

где константа  $\alpha = (1/1176) (S''/\kappa)^2 (\Delta p/b)^4 \sim 10^2$ . Отсюда видно, что зависящая от  $\varphi(0)$  добавка становится пренебрежимо малой в весьма узком интервале углов  $|\theta - \theta_k| \geq \theta_k (\gamma w_0 / \alpha)^{1/2} \sim 10^{-4}$ . Согласно (8), характерная величина всплеска  $\Gamma$  в максимуме  $\sim \bar{\Gamma}/Nk \sqrt{\gamma w_0} \sim \bar{\Gamma} \theta_k/k (\Delta p/b) \sqrt{\gamma w_0}$ , что в обычной экспериментальной ситуации составляет величину  $\sim 10^{-1} \bar{\Gamma}$ .

Таким образом, зависимость  $\Gamma$  от  $\theta^2$  представляет собой систему узких эквидистантно расположенных всплесков с периодом  $\Delta\theta^2 = 4\pi\kappa/|S''|$ . По их величине можно относительно легко определить частоту малоуглового рассеяния  $v_{my}$ , а по периоду  $\Delta\theta^2$  — параметр  $S''$ .

## L. Yu. GORELIK, A. A. SLUTSKIN, and A. Ya. SHARSHANOV ORIENTATION ANOMALIES OF SOUND ABSORPTION BY METALS UNDER MAGNETIC BREAKDOWN

The oscillations of longitudinal sound absorption by metals under a stochastic magnetic breakdown (MB) are considered. A typical case is studied when magnetic field  $H$  forms a small angle  $\theta$  with the plane perpendicular to one of the vectors of reciprocal crystal lattice  $b$  and the MB configuration represents weakly aperiodic electron orbits connected by small orbits (so-called quantum gates characterized by the  $2\pi$ -periodic dependence of effective probability of MB ( $w$ ) on a quasi-classical phase  $\varphi = cS/eH\hbar$  ( $S$  — being the small orbit area)). For  $\theta \gtrsim \sqrt{\kappa} \sim 1^\circ$  ( $\kappa \equiv e\hbar H/cb^2$  being the quasi-classicity parameter) the MB-oscillations of sound absorption are very sensitive to the structure of inhomogeneous distribution of  $\varphi$ -phases over the MB configuration. In the above region of angles the amplitude of MB oscillations is low except for a small neighbourhood

\* Формула приведена для обычно реализующегося симметричного случая, когда  $p_z = 0$  является экстремальной точкой  $S(p_z)$  и  $S_B(p_z)$ ; кроме того, для простоты считаем, что  $q$  параллелен  $H$ .

of selected values of  $\theta = \theta_k \equiv \sqrt{4\pi\chi k/S''}$  ( $k = 1, 2, \dots$ ;  $S'' = |\partial^2 S / \partial p_z^2|$  where it is comparable with a smooth absorption part).

LIST OF SYMBOLS.  $w_0$ , magnetic breakdown probability;  $w$ , effective magnetic breakdown probability;  $\chi$ , semiclassical parameter;  $H$ , magnetic field;  $\epsilon_F$ , Fermi energy;  $r_H$ ,  $T_H$ , Larmor radius, period, respectively;  $\mathbf{b}$ , reciprocal lattice vector;  $l$ , scattering length of electron in metal;  $\mathbf{q}$ , sound wave vector;  $\Gamma$ , damping decrement.

1. Kaganov M. I., Slutskin A. A. Coherent magnetic breakdown // Phys. Repts.—1983.—98, N 2.—P. 189—242.

Физико-технический ин-т  
низких температур АН УССР,  
г. Харьков

Получено 30.06.86

УДК 539.2

В. А. МЕЛИК-ШАХНАЗАРОВ, И. И. МИРЗОЕВА,  
И. А. НАСКИДАШВИЛИ

## ОРИЕНТАЦИОННОЕ УПОРЯДОЧЕНИЕ СМЕШАННЫХ ГАНТЕЛЕЙ В ТВЕРДОМ РАСТВОРЕ AI—Zn

Экспериментально показано, что диполь-дипольное упругое взаимодействие смешанных гантелей в твердом растворе Al—Zn приводит к фазовому превращению при  $T_c \approx 2,2$  К в состояние с ориентационным упорядочением.

Поглощение и дисперсия скорости низкочастотного ( $\sim 1$  кГц) звука в сплаве Al— $1,5 \cdot 10^{-2}$  ат. % Zn, содержащем в твердом растворе смешанные гантели ( $c_0 \approx 10^{-5}$ ), измерялись в [1]. Было установлено, что при  $T < 10,5$  К переориентация оси гантеля между шестью равновесными направлениями вдоль осей  $\langle 100 \rangle$  происходит путем подбарьерного туннелирования, температурная зависимость скорости релаксации описывается законом  $\tau^{-1} \sim T^{-9}$  [2, 3]. В [1] были обнаружены также нарушение при  $T \leqslant 8$  К степенной зависимости  $\tau^{-1}(T)$  и при  $T \approx 2,2$  К — излом на кривой модуля упругости (см. рис. 9 в [1]), который, как известно (см., например, [4]), определяет температуру фазового перехода.

В связи с этим проанализируем низкотемпературную часть кривой  $G(T)$  (см. рис. 3 в [1]). Известно, что упругая восприимчивость  $\chi(\omega)$  вдали от  $T_c$  отражает нескоррелированный отклик упругих диполей, т. е. локальное, ячеичное, время релаксации. При  $T \rightarrow T_c$  корреляция диполей приводит к появлению критической релаксации Ландау—Халатникова  $\tau^* = A/(T - T_c)$ , а статический эффект описывается законом Кюри  $\chi(0) = C/(T - T_c)$ . Дисперсия модуля упругости в этом случае может быть записана следующим образом:

$$\frac{\Delta G}{G_0} = \frac{K}{T - T_c} \frac{1}{1 + (\omega\tau^*)^2}, \quad (1)$$

где  $A$ ,  $C$ ,  $K$  — постоянные. В пределе больших значений  $T - T_c$  выполняется неравенство  $\omega\tau^* \ll 1$ , и из (1) следует  $\Delta G/G_0 \sim 1/(T - T_c)$ .

На рисунке (кривая 1) представлена зависимость обратного дефекта модуля упругости  $(\Delta G/G_0)^{-1}$  от температуры. Наблюдающаяся в таких координатах линейная зависимость свидетельствует о том, что при  $T \leqslant 8$  К упругая восприимчивость действительно подчиняется закону Кюри. Экстраполяция полученной прямой к значению  $(\Delta G/G_0)^{-1} = 0$  позволяет определить точку фазового перехода: как видно из рисунка, в данном случае  $T_c \approx 2,2$  К. Это значение удовлетворительно совпадает с температурой аномалии на кривой модуля упругости (см. рис. 9 в [1]).

Поскольку при рассматриваемых температурах смешанные гантели представляют собой локализованные упругие диполи, способные, однако, переориентироваться между равновесными направлениями  $\langle 100 \rangle$  [4], наиболее вероятным типом фазового превращения при  $T_c \approx 2,2$  К является